

## 레이저 어블레이션에 의한 다성분 박막의 방향성 제어 연구

박주형, 이상렬  
연세대학교 전기공학과

### Study on control of orientation of multicomponent thin film by laser ablation

Joo Hyung Park, Sang Yeol Lee  
Department of Electrical Engineering, Yonsei University

**Abstract** - 펄스 레이저 증착법을 이용하여 MgO 기판 위에 YBCO 박막을 c 축으로 성장시켰다. 이를 위하여 다양한 두께의 YBCO 박막을 여러 온도에서 증착시킴으로써 두께와 온도에 따른 YBCO 박막의 방향성을 조사하였다. 레이저원으로는 Nd:YAG 레이저의 355 nm의 파장을 이용하였으며, 증착시 기판온도는 700°C와 750°C에서 박막의 두께를 3,000 Å, 10,000 Å, 20,000 Å 등으로 변화시켜 증착하였다. 이렇게 증착되어진 박막의 표면은 SEM으로 관찰되어졌으며, Raman Spectroscopy로 박막을 분석하였고, XRD를 사용하여 그 박막의 배향성을 연구하였다. 본 논문에서는 이와 같은 분석과 연구를 통하여 증착되어진 다성분 박막의 배향성이 기판온도와 박막두께에 따라 민감하게 변화함을 체계적으로 분석하였으며, 그 결과 기판온도와 박막두께에 따른 YBCO 박막의 a 축, c 축 성장의 의존성을 확인하였다.

조적으로 사파이어 기판보다 YBCO에 더욱 적합하고 LaAlO<sub>3</sub>, LaGaO<sub>3</sub>, NdGaO<sub>3</sub> 등과 같은 페로브스카이트 구조보다 더욱 우수한 마이크로파 특성을 갖고있다[6]. 그러나 초전도 YBCO는 a=3.82Å, b=3.89Å, c=11.67Å 등과 같은 격자상수를 갖는 사방정구조를 하고있다. a, b, c/3에 대한 격자상수에서의 차이는 매우 작기때문에 [100] 페로브스카이트 기판상 대부분의 YBCO 박막은 기판표면에 수직하게 a 축, b 축, c 축 등이 혼합된 적층결정을 갖는다[7-9]. a, b, c 결정의 혼합은 또한 in situ 방법에 의해 만들어진 박막에서 관찰되어 진다[10]. YBCO의 비등방적 물리적 특성, 바람직하지 못한 결정경계, c 축에 평행하게 성장하는 비율과 수직하게 성장하는 비율의 차이에 의한 거칠은 표면 등 때문에 혼합된 적층결정을 형성하는 이러한 경향은 YBCO 박막의 응용에 심각한 영향을 미친다[11]. 미세구조에 대한 자세한 이해와 미세구조를 제어하는 능력은 성공적인 소자응용에 있어서 중요한 역할을 한다.

## 1. 서 론

펄스 레이저 증착법은 20여년 전부터 사용되어진 박막증착법으로서 최근 고온초전도체, 강유전체 및 세라믹 박막 등을 성공적으로 증착시킴으로써 다성분 박막증착의 최적 공정으로 각광을 받게 되었다[1-3]. 특히 펄스 레이저 증착법은 타겟과 동일한 조성의 박막을 증착시킬 수 있어서 다성분 박막을 단일 타겟으로부터 쉽게 얻을 수 있다. 따라서 이러한 장점때문에 펄스 레이저 증착법을 이용한 고온초전도체 박막증착은 그 활용성과 유용성이 뛰어나다. 고온초전도 박막의 마이크로파 응용 즉, 필터, 공진기, 지연선, 전송선 등에서 기판재료에 대한 특별한 사항이 고려되고 있다[4]. 고온초전도 마이크로파 응용에 대한 기판재료의 특성에 대한 요구사항은 기계적 강도, 고품질 박막성장 가능성에 대한 알맞은 격자정합, 기판의 절연특성 등이다[5]. MgO 기판은 초전도 마이크로파 응용에 있어서 낮은 유전상수를 갖는 뛰어난 기판으로서 알려져 있고, 구

이 논문에서는 레이저 어블레이션에 의해 적층성장된 YBCO 박막의 두께와 증착온도 등과 배향성 사이의 관계를 연구하였다.

## 2. 본 론

### 2.1 실험 방법

그림 1에 나타난 펄스 레이저 증착시스템을 이용하여 MgO (100) 기판위에 YBCO 박막이 355 nm 파장의 Nd:YAG 레이저에 의해 증착되었다. 타겟표면과 레이저 빔이 이루는 각도를 45°로 유지하고 렌즈를 통해 집광시킨 1-2 J/cm<sup>2</sup>의 에너지밀도와 5 Hz의 반복율을 사용하였다. 증착에 앞서, 1 cm×1 cm 크기의 MgO 기판을 세척하기 위해 아세톤과 메탄올에서 초음파 세척기로 5분씩 세척하여 질소가스로 건조시켰다. YBCO 초전도 타겟표면을 사포로 문질러 표면을 최대한 매끈하게 만든 후 타겟을 회전가능한 타겟홀더에 은페이스트를 이용하여 부

착하였다. 기판온도가 700°C와 750°C, 산소압 200 mTorr에서 YBCO 적층박막을 증착하였다. 박막두께를 3,000 Å, 10,000 Å, 20,000 Å 등으로 변화시켜 체계적으로 증착하였다. YBCO 박막이 증착된 후, 산소압을 500 Torr로 증가시켜 550°C까지 천천히 냉각시키고 그 온도에서 30분간 어닐링을 하고난 후 상온으로 냉각시켰다. X-ray diffraction (XRD), Raman spectroscopy를 이용하여 YBCO 박막의 배향성을 관찰하고 분석하였다.

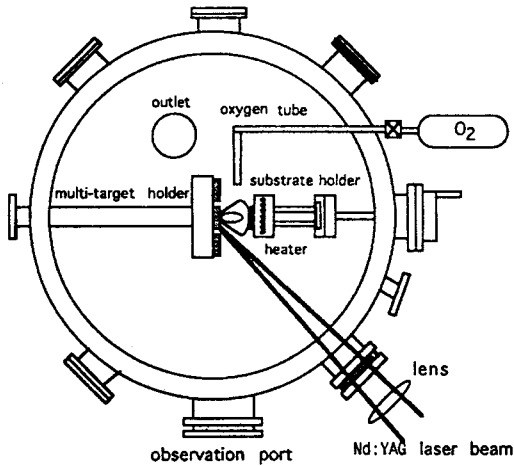


그림 1. 펄스 레이저 증착시스템 개략도.

## 2.2 결과 및 고찰

초전도 YBCO 박막의 특성을 XRD, SEM, Raman spectroscopy 등에 의해 나타내었다. 임계온도는 4단계 측정법으로 측정되었으며 85-88K 를 보였다.

그림 2는 700°C와 750°C에서 증착된 10,000 Å 두께의 YBCO 박막에 대한 XRD 패턴을 보이고 있다. 750°C에서 증착된 10,000 Å 두께의 박막에서 c 축 배향성, 700°C에서 증착된 10,000 Å 두께의 박막에서는 a 축과 c 축이 섞여있음을 관찰할 수 있다.

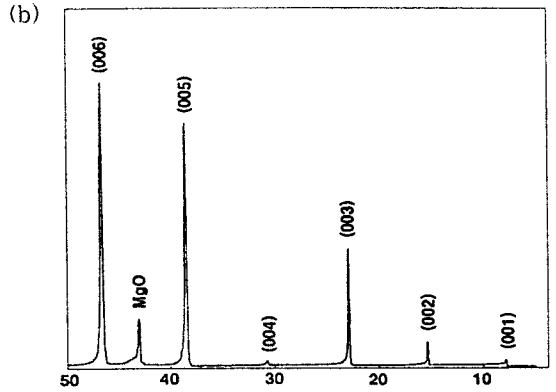
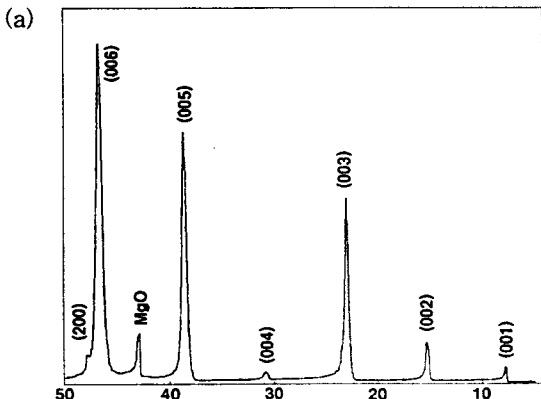


그림 2. (a) 700°C와 (b) 750°C에서 증착된 10,000 Å 두께의 YBCO 박막에 대한 XRD 패턴.

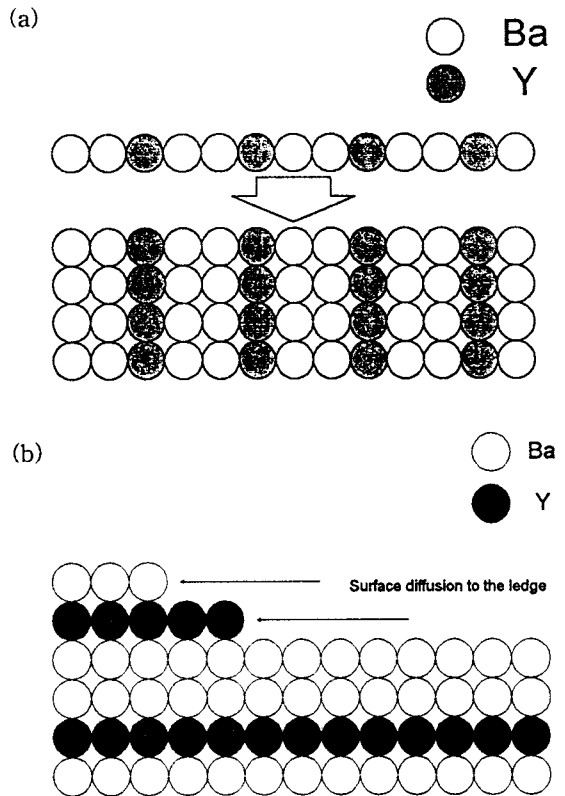


그림 3. (a) a 축 성장(높은 산소압과 낮은 기판온도), (b) c 축 성장(낮은 산소압과 높은 기판온도)의 경우 PLD(Pulsed Laser Deposition)에 의한 YBCO 박막의 성장 메커니즘.

또한, 700°C와 750°C에서 증착된 20,000 Å 두께의 박막에서는 모두 a 축과 c 축이 섞여있는 배향성을 나타내었다. Raman spectroscopy의 결과도 이런 결과와 일치하는 모습을 보였다.

박막의 두께를 증가시킴으로써 완전한 c 축 배향에서 a 축과 c 축이 섞여있는 혼성배향으로 박막배향성이 전이되는 현상은 그림 3에서 나타난 것과 같이 기판표면 위에서의 adatom mobility의 감소를 유발하는 표면냉각의 효과에 의해 설명되어질 수 있다. 또한, 박막두께를 증가시킴으로써 나타난 표면냉각의 효과처럼 기판온도를 감소시킴으로써 c 축 배향에서 a 축 배향으로의 전이를 일으키는 기판온도의 효과를 관찰할 수 있다. 박막배향성 변화의 결과는 표 1에 요약되어 있다.

표 1. 실험결과 요약

온도 \ 두께	3,000 Å	10,000 Å	20,000 Å
750°C	c 축	c 축	a, c 축
700°C	c 축	a, c 축	a, c 축

### 3. 결 론

레이저 어블레이션에 의해 적층성장된 YBCO 박막의 두께와 증착온도 등과 축의 배향성 사이의 관계를 연구하였다. c 축 배향에서 a 축과 c 축이 섞여있는 혼성배향으로 박막배향성이 전이되는 현상은 박막두께를 증가시키거나 기판온도를 감소시킴으로써 관찰할 수 있었다. 이것은 기판표면 위에서 adatom mobility의 감소를 유발하는 표면냉각의 효과에 의해 설명되어질 수 있다.

### [참 고 문 헌]

[1] S.Y. Lee, Q.X. Jia, W.A. Anderson, and D.T. Shaw, "In situ laser deposition of superconducting  $YBa_2Cu_3O_{7-x}$  thin films on GaAs substrates", J. Appl. Phys. 70, p.7170, 1991

[2] Gary A. Petersen, Tr. and J.R. McNeil, "Effects of oxygen partial pressure on lead content of PLZT thin films produced by excimer laser deposition", Thin Solid Films 220, p.87, 1992

[3] G.A. Prinz, "Hybrid ferromagnetic-semiconductor structures", Science 250, p.1092, 1990

[4] S.Y. Lee, K.Y. Kang, and D. Ahn, "Fabrication of YBCO superconducting dual mode resonator for satellite communications", IEEE Trans. Appl. Supercond. 5, p.2563, 1995

[5] B.F. Cole, G.C. Liang, N. Newman, K. Char, G. Zaharchuk, and J.S. Martens, "Large-area thin films on sapphire for microwave applications", Appl. Phys. Lett. 61, p.1727, 1992

[6] Cheung JT, Gergis I, James M, and DeWames Re "Reproducible growth of high quality  $YBa_2Cu_3O_{7-x}$  film on (100) MgO with a  $SrTiO_3$  buffer layer by pulsed laser deposition" Appl. Phys. Lett. 60, p.3180, 1992

[7] C.H. Chen, J. Kwo, and M. Hong, "Microstructures of  $YBa_2Cu_3O_{7-x}$  superconducting thin films grown on a  $SrTiO_3$  (100) substrate", Appl. Phys. Lett. 52, p.841, 1988

[8] J.D. Budai, R. Feenstra, and L.A. Boatner, "X-ray study of in-plane epitaxy of  $YBa_2Cu_3O_x$  thin films", Phys. Rev. B39, p.12355, 1989

[9] S.W. Chan, D.M. Hwang, and L. Nazer, "Microstructure of  $YBa_2Cu_3O_{7-x}$  thin films grown on a single-crystal  $SrTiO_3$ ", J. Appl. Phys. 65, p.4719, 1989

[10] D.M. Hwang, T. Venkatesan, C.C. Chang, L. Nazer, X.D. Wu, A. Inam, and M.S. Hegde, "Microstructure of in situ epitaxially grown superconducting Y-Ba-Cu-O thin films", Appl. Phys. Lett. 54, p.1702, 1989

[11] B.M. Clements, C.W. Nieh, J.A. Kittl, W.L. Johnson, J.Y. Josefowicz, and A.T. Hunter, "Nucleation and growth of YBaCuO on  $SrTiO_3$ ", Appl. Phys. Lett. 53, p.1871, 1988